

НЕКОТОРЫЕ ТИПЫ ГИПЕРГЕОМЕТРИЧЕСКИХ ЛАЗЕРНЫХ ПУЧКОВ ДЛЯ ОПТИЧЕСКОГО МИКРОМАНИПУЛИРОВАНИЯ

В.В. Котляр^{1,2}, А.А. Ковалев^{1,2}, Р.В. Скиданов^{1,2}, С.Н. Хонина^{1,2}

¹Институт систем обработки изображений РАН, Самара, Россия,

²Самарский государственный аэрокосмический университет имени академика С.П. Королева, Самара, Россия

Аннотация

Получены явные аналитические выражения, описывающие параксиальные световые пучки, являющиеся частными случаями гипергеометрических (HyG) лазерных пучков [J.Opt.Soc.Am.A, v.25, p.262-270 (2008)]. К ним относятся модифицированные квадратичные Бессель-Гаусс (mQBG) пучки, полые гауссовы оптические вихри (HGOV), модифицированные элегантные Лагерра-Гаусса пучки (meLG) и гамма-гипергеометрические (γ HyG) пучки. По технологии электронной микролитографии синтезирован бинарный дифракционный оптический элемент, приближенно формирующий HyG пучки. Теория и эксперимент находятся в удовлетворительном соответствии. Экспериментально показана возможность вращения диэлектрических микрочастиц в световом кольце HyG пучка.

Ключевые слова: гипергеометрический пучок, гипергеометрическая мода, дифракционный оптический элемент, оптическое вращение диэлектрических микрочастиц, конфлюэнтная функция (функция Куммера), логарифмический аксикон.

1. Введение

Недавно были рассмотрены новые световые моды – гипергеометрические (HyG) моды [1]. После этого появилось несколько обобщающих работ, в которых были рассмотрены гипергеометрические-гауссовы (HyGG) моды [2], HyG пучки [3] и круговые пучки (CiB) [4]. В [4] указано, что частными случаями круговых пучков являются многие известные световые пучки, например, стандартные [5] и элегантные [6] моды Лагерра-Гаусса (sLG, eLG), квадратичные Бессель-Гаусса (QBG) пучки [7]. Заметим, что HyG моды [1] и HyGG пучки [2] были реализованы с помощью жидкокристаллических микродисплеев.

В данной работе приводится явный вид лазерных пучков, которые являются частными случаями HyG пучков [3]. Это модифицированные квадратичные Бессель-Гаусс (mQBG) пучки, о которых упоминалось в [2], но не было приведено их явного вида, и которые отличаются от обычных QBG пучков [7]. Показано, что известные гауссовы оптические вихри (GOV) [8,9] являются также частным случаем HyG пучков. Получены явные аналитические выражения для новых световых пучков: полых гауссовых оптических вихрей (HGOV), модифицированных элегантных Лагерра-Гаусса (meLG) пучков и гамма-гипергеометрических (γ HyG) пучков. Эти световые пучки также являются частными случаями HyG пучков.

В работе приводятся экспериментальные результаты по формированию пары HyG пучков с номерами (n, γ) и $(-n, -\gamma)$ с помощью бинарного дифракционного оптического элемента (ДОЭ). ДОЭ был синтезирован по технологии электронной микролитографии. Проведено сравнение экспериментальной и расчетной картин дифракции для HyG пучка. Приведены также результаты эксперимента по враще-

нию полистироловых шариков диаметром 5 мкм в световом кольце сформированного HyG пучка.

2. Общий вид HyG пучков

В [3] показано, что с помощью начального светового поля при $z = 0$ вида

$$E_{\gamma, n, m}(r, \varphi, z = 0) = \frac{1}{2\pi} \left(\frac{r}{\omega}\right)^m \exp\left[-\frac{r^2}{2\sigma^2} + i\gamma \ln\left(\frac{r}{\omega}\right) + in\varphi\right], \quad (1)$$

где (r, φ) – полярные координаты в начальной плоскости $z = 0$, ω и γ – действительные параметры логарифмического аксикона, σ – радиус перетяжки Гауссова пучка, n – номер сингулярности (целое число) спиральной фазовой пластинки (СФП), m – целое число – показатель степенной составляющей комплексной амплитуды, в произвольной плоскости $z > 0$ сформируется параксиальное световое поле, описываемое комплексной амплитудой вида:

$$E_{\gamma, n, m}(\rho, \theta, z) = \frac{(-i)^{n+1}}{2\pi n!} \left(\frac{z_0}{zq^2}\right) \left(\frac{\sqrt{2}\sigma}{\omega q}\right)^{m+i\gamma} \times \left(\frac{k\sigma\rho}{\sqrt{2}qz}\right)^n \exp\left(\frac{ik\rho^2}{2z} + in\theta\right) \Gamma\left(\frac{n+m+2+i\gamma}{2}\right) \times {}_1F_1\left[\frac{n+m+2+i\gamma}{2}, n+1, -\left(\frac{k\sigma\rho}{\sqrt{2}qz}\right)^2\right], \quad (2)$$

где $z_0 = k\sigma^2$, $q = (1 - iz_0/z)^{1/2}$, (ρ, θ) – полярные координаты в поперечной плоскости, $\Gamma(x)$ – гамма-функция, ${}_1F_1(a, b, x)$ – функция Куммера [10], $k = 2\pi/\lambda$ – волновое число света, λ – длина волны.

3. Частные случаи НуГ пучков

В этом разделе мы получим аналитические выражения для частных случаев НуГ пучков: mQBG, GOV, HGOV, meLG и γ НуГ пучков.

Все эти пучки не являются модами свободного пространства и не сохраняют свою структуру при распространении. Дифракционная картина в сечении этих пучков представляет собой набор светлых и темных концентрических колец, среди которых самое яркое кольцо является основным, а остальные кольца – боковыми лепестками. Из этих пучков только mQBG пучки обладают бесконечной энергией, как, например, обычные моды Бесселя [11], а остальные пучки имеют конечную энергию.

3.1. Модифицированные квадратичные Бессель-Гаусса пучки

Известна связь функции Куммера и функции Бесселя целого и полуцелого порядков [10]:

$${}_1F_1\left(\frac{n+1}{2}, n+1, x\right) = \Gamma\left(\frac{n}{2}+1\right) \exp\left(\frac{x}{2}\right) \left(-\frac{ix}{4}\right)^{\frac{n}{2}} J_{\frac{n}{2}}\left(-\frac{ix}{2}\right), \quad (3)$$

где $J_\nu(x)$ – функция Бесселя. Тогда из (2) с учетом (3) и при условии, что $\gamma = i(m+1)$, получим:

$$E_{i(m+1),n,m}(\rho, \theta, z) = E_{0,n,-1}(\rho, \theta, z) = \frac{(-i)^{n+1}}{\sqrt{2\pi}} \left(\frac{k\sigma\omega}{2zq}\right) \times \exp\left[in\theta + \frac{ik\rho^2}{2R_1(z)} - \frac{\rho^2}{2\sigma^2(z)}\right] \times I_{\frac{n}{2}}\left[\frac{\rho^2}{2\sigma^2(z)} + \frac{ik\rho^2}{2R(z)}\right], \quad (4)$$

где

$$\begin{cases} \sigma^2(z) = 2\sigma^2\left(1 + \frac{z^2}{z_0^2}\right), \\ R(z) = 2z\left(1 + \frac{z^2}{z_0^2}\right), \\ R_1(z) = R(z)\left(1 + \frac{2z^2}{z_0^2}\right)^{-1}, \end{cases} \quad (5)$$

$I_\nu(x)$ – модифицированная функция Бесселя.

Световые пучки, описываемые комплексной амплитудой (4), имеют сомножителями гауссовую экспоненту и функцию Бесселя. Поэтому они сходны с известными пучками Бесселя-Гаусса (BG) [12]. Зависимость аргумента функции Бесселя в (4) от радиальной координаты квадратичная, и поэтому пучки (4) сходны с QBG пучками [7]. Но QBG пучки порождаются начальным световым полем при $z = 0$,

описываемым функцией $J_{n/2}(ar^2)\exp(-br^2 + in\phi)$, а и b – постоянные, а в любой другой плоскости $z > 0$ выражение для амплитуды QBG пучков можно получить с помощью справочного интеграла [13]:

$$\int_0^\infty J_{\frac{n}{2}}(ar^2)\exp(-br^2)J_n(cr)rdr = \frac{1}{2(a^2+b^2)^{\frac{1}{2}}} J_{\frac{n}{2}}\left[\frac{c^2a}{4(a^2+b^2)}\right] \exp\left[-\frac{c^2b}{4(a^2+b^2)}\right]. \quad (6)$$

Пучки (4) порождаются с помощью другого светового поля в начальной плоскости:

$$E_{0,n,-1}(r, \phi, z=0) = \frac{1}{2\pi} \left(\frac{\omega}{r}\right) \exp\left(-\frac{r^2}{2\sigma^2} + in\phi\right), \quad (7)$$

и поэтому отличаются от QBG пучков. Световые поля (4) можно назвать модифицированными квадратичными Бессель-Гаусс пучками (mQBG).

При $\sigma \rightarrow \infty$ (гауссовый пучок заменяется плоской волной) из (4) получаются расходящиеся Бесселевы пучки, описанные в [3]:

$$\tilde{E}_{0,n,-1}(\rho, \theta, z) = \frac{\omega}{2} \sqrt{\frac{ik}{2\pi z}} \times (-i)^{\frac{n+1}{2}} \exp\left(in\theta + \frac{ik\rho^2}{4z}\right) J_{\frac{n}{2}}\left(\frac{k\rho^2}{4z}\right). \quad (8)$$

Световое поле (7) имеет особенность в центре начальной плоскости при $z = 0$ и $r = 0$ и обладает бесконечной энергией. Рассмотрим далее случаи без таких особенностей.

3.2. Гауссовы оптические вихри

В этом разделе приводится явный вид комплексной амплитуды для еще одного частного случая НуГ пучков – GOV [8,9]. Известна рекуррентная связь между функциями Куммера [10]:

$${}_1F_1(a, b, -x) = \exp(-x) {}_1F_1(b-a, b, x). \quad (9)$$

С учетом (9) общий вид НуГ пучков (2) для дальнейшего удобно написать в виде:

$$F_{\gamma,n,m}(\rho, \theta, z) = \frac{(-i)^{n+1}}{2\pi n!} \left(\frac{z_0}{zq^2}\right) \left(\frac{\sqrt{2}\sigma}{\omega q}\right)^{m+i\gamma} \times \left(\frac{k\sigma\rho}{\sqrt{2}qz}\right)^n \exp\left[in\theta + \frac{ik\rho^2}{2z} - \left(\frac{k\sigma\rho}{\sqrt{2}qz}\right)^2\right] \times \Gamma\left(\frac{n+m+2+i\gamma}{2}\right) \times {}_1F_1\left[\frac{n-m-i\gamma}{2}, n+1, \left(\frac{k\sigma\rho}{\sqrt{2}qz}\right)^2\right]. \quad (10)$$

В [3] найдена связь между функцией Куммера и модифицированными функциями Бесселя:

$${}_1F_1\left(\frac{n}{2}, n+1, x\right) = \Gamma\left(\frac{n+1}{2}\right) 2^{\frac{n-1}{2}} \times \left(\frac{x}{2}\right)^{-\left(\frac{n-1}{2}\right)} \exp\left(\frac{x}{2}\right) \left[I_{\frac{n-1}{2}}(x) - I_{\frac{n+1}{2}}(x) \right]. \quad (11)$$

Используя (11) и положив $\gamma = im$, из общего вида (10) для НуГ пучков можно получить частный случай в явной форме:

$$E_{im,n,m}(\rho, \theta, z) = E_{0,n,0}(\rho, \theta, z) = \frac{(-i)^{n+1}}{4\sqrt{\pi}} \times \left(\frac{z_0}{zq^2}\right) \left(\frac{k\sigma\rho}{\sqrt{2}qz}\right) \times \exp\left[in\theta + \frac{ik\rho^2}{2R_1(z)} - \frac{\rho^2}{2\sigma^2(z)}\right] \times \left[I_{\frac{n-1}{2}}(y) - I_{\frac{n+1}{2}}(y) \right], \quad (12)$$

где

$$y = \frac{1}{2} \left(\frac{k\sigma\rho}{\sqrt{2}qz}\right)^2 = \frac{\rho^2}{2\sigma^2(z)} + \frac{ik\rho^2}{2R_1(z)}.$$

Световое поле (12) порождается начальным полем вида:

$$E_{0,n,0}(r, \varphi, z=0) = \frac{1}{2\pi} \exp\left(-\frac{r^2}{2\sigma^2} + in\varphi\right), \quad (13)$$

которое можно реализовать с помощью дифракции гауссового пучка на СФП. Поэтому световые пучки, описываемые комплексной амплитудой (12), могут быть названы GOV [8,9].

3.3. Полюе гауссовы оптические вихри

Можно получить явный аналитический вид через модифицированные функции Бесселя для комплексной амплитуды световых пучков, близких по форме к пучкам (12). Такие пучки можно сформировать с помощью дифракции полого гауссова пучка на СФП:

$$E_{0,n,1}(r, \varphi, z=0) = \frac{1}{2\pi} \left(\frac{r}{\omega}\right) \exp\left(-\frac{r^2}{2\sigma^2} + in\varphi\right). \quad (14)$$

Чтобы получить комплексную амплитуду при $z > 0$, получим сначала промежуточное соотношение. Для этого сравним два справочных интеграла, один из которых пропорционален функции Куммера [13]:

$$\int_0^\infty r^2 \exp(-pr^2) J_n(cr) dr = c^n p^{-(n+3)/2} 2^{-(n+1)} \times \Gamma\left(\frac{n+3}{2}\right) \Gamma^{-1}(n+1) {}_1F_1\left(\frac{n+3}{2}, n+1, -\frac{c^2}{4p}\right), \quad (15)$$

а второй интеграл получается путем дифференцирования обеих частей равенства [13]

$$\int_0^\infty \exp(-pr^2) J_n(cr) dr = \frac{1}{2} \sqrt{\frac{\pi}{p}} \exp\left(-\frac{c^2}{8p}\right) I_{\frac{n}{2}}\left(\frac{c^2}{8p}\right), \quad (16)$$

по параметру p :

$$\int_0^\infty r^2 \exp(-pr^2) J_n(cr) dr = \frac{\sqrt{\pi}}{2} p^{-\frac{3}{2}} \exp\left(-\frac{c^2}{8p}\right) \times \left[\left(\frac{1-n}{2} - \frac{c^2}{8p}\right) I_{\frac{n}{2}}\left(\frac{c^2}{8p}\right) + \left(\frac{c^2}{8p}\right) I_{\frac{n-2}{2}}\left(\frac{c^2}{8p}\right) \right]. \quad (17)$$

Сравнивая правые части (15) и (17), получим связь между функцией Куммера и модифицированными функциями Бесселя:

$${}_1F_1\left(\frac{n+3}{2}, n+1, -x\right) = x^{-\frac{n}{2}} \exp\left(-\frac{x}{2}\right) \sqrt{\pi n} \times \Gamma^{-1}\left(\frac{n+3}{2}\right) \left[\left(\frac{1-n}{2} - \frac{x}{2}\right) I_{\frac{n}{2}}\left(\frac{x}{2}\right) + \frac{x}{2} I_{\frac{n-2}{2}}\left(\frac{x}{2}\right) \right]. \quad (18)$$

Используя (18), из общего уравнения (2), при условии $\gamma = i(m-1)$, получим явное выражение для новых световых пучков:

$$E_{i(m-1),n,m}(\rho, \theta, z) = E_{0,n,1}(\rho, \theta, z) = \frac{(-i)^{n+1}}{\sqrt{2\pi}} \times \left(\frac{k\sigma^3}{z\omega q^3}\right) \exp\left[in\theta + \frac{ik\rho^2}{2R_1(z)} - \frac{\rho^2}{2\sigma^2(z)}\right] \times \left[\left(\frac{1-n}{2} - y\right) I_{\frac{n}{2}}(y) + y I_{\frac{n-2}{2}}(y) \right], \quad (19)$$

где y такое же, как в (12). Световые поля (19) с учетом вида порождающего их поля (14) можно назвать HGOV.

3.4. Модифицированные элегантные пучки Лагерра-Гаусса

Эти пучки порождаются с помощью начального поля вида:

$$E_{\gamma,n,2p+n}(r, \varphi, z=0) = \frac{1}{2\pi} \left(\frac{r}{\omega}\right)^{2p+n} \exp\left(-\frac{r^2}{2\sigma^2} + in\varphi\right). \quad (20)$$

Получим новый вид световых пучков как частный случай НуГ пучков (2) при условии $\gamma = -i(2p-m+n)$, p – целое число ($p \geq -n/2$). Для этого воспользуемся известной связью между функцией Куммера и присоединенными многочленами Лагерра [10]:

$${}_1F_1(-p, n+1, x) = \frac{p!n!}{(n+p)!} L_p^n(x), \quad (21)$$

где $L_p^n(x)$ – присоединенный многочлен Лагерра.

С учетом (21) из (10) следует:

$$E_{0,n,2p+n}(\rho, \theta, z) = \frac{(-i)^{n+1} p!}{2\pi} \left(\frac{z_0}{zq^2} \right) \times \left(\frac{\sqrt{2}\sigma}{\omega q} \right)^{n+2p} t^{\frac{n}{2}} \exp\left(in\theta + \frac{ik\rho^2}{2z} - t \right) L_p^n(t), \quad (22)$$

где $t = 2y = \left[k\sigma\rho / (\sqrt{2}qz) \right]^2$.

Световые пучки, описываемые комплексной амплитудой (22), можно назвать meLG пучками. Об этих пучках упоминается в [2], но явного вида их не приведено. Мы называем эти новые световые пучки элегантными, так как аргумент многочлена Лагерра комплексный, как и у обычных eLG [6]. Но зависимость аргумента многочлена Лагерра в (22) от переменной z отличается от аналогичной зависимости в обычных eLG пучках [6]. Приведем для сравнения явный вид eLG пучков в принятых здесь обозначениях:

$$E_{\text{eLG}}(\rho, \theta, z) = (-i)^{p+1} \left(\frac{z_0}{zq^2} \right)^{p+1} \times \left(\frac{-2i\sigma^2 z_0}{\omega^2 q^2 z} \right)^{\frac{n}{2}} s^{\frac{n}{2}} \exp(in\theta - s) L_p^n(s), \quad (23)$$

где $s = -ik\rho^2 / (2q^2 z)$. Из сравнения (22) и (23) видно, что аргументы s и t отличаются своей зависимостью от координаты z . Это отличие возникает из-за того, что meLG пучки (22) порождаются начальным полем (20), а eLG пучки (23) порождаются начальным полем вида:

$$E_{\text{eLG}}(r, \varphi, z=0) = \left(\frac{r}{\omega} \right)^n \exp\left(-\frac{r^2}{2\sigma^2} + in\varphi \right) L_p^n\left(\frac{r^2}{2\sigma^2} \right). \quad (24)$$

3.5. Гамма-гипергеометрические пучки

Приведем здесь еще один явный вид комплексной амплитуды, описывающей частный случай НуГ пучков (2). Для этого воспользуемся связью между функцией Куммера и неполной гамма-функцией [10]:

$${}_1F_1(n, n+1, -x) = nx^{-n} \gamma(n, x), \quad (25)$$

где $\gamma(v, x)$ – неполная гамма-функция,

$$\gamma(v, x) = \int_0^x \xi^{v-1} \exp(-\xi) d\xi. \quad (26)$$

С учетом (25) из (2) получим частный вид НуГ пучков при $\gamma = i(m+2)$:

$$E_{i(m+2-n),n,m}(\rho, \theta, z) = E_{0,n,n-2}(\rho, \theta, z) = \frac{(-i)^{n+1}}{2\pi} \left(\frac{k\omega^2}{2z} \right) \left(\frac{k\rho\omega}{2z} \right)^{-n} \times \exp\left(\frac{ik\rho^2}{2z} + in\theta \right) \gamma\left[n, \left(\frac{k\sigma\rho}{\sqrt{2}qz} \right)^2 \right]. \quad (27)$$

Световые пучки (27) описываются комплексной амплитудой, пропорциональной неполной гамма-функции, и поэтому мы назвали их γ НуГ пучками. Световые пучки (27) порождаются начальным световым полем вида:

$$E_{0,n,n-2}(r, \varphi, z=0) = \frac{1}{2\pi} \left(\frac{r}{\omega} \right)^{n-2} \exp\left(-\frac{r^2}{2\sigma^2} + in\varphi \right). \quad (28)$$

Заметим, что meLG пучки (22) переходят в γ НуГ пучки (27) при $p = -1$.

4. Моделирование

Формирование НуГ-мод [1] с помощью дифракционных оптических элементов – непростая задача. Во-первых, аналогично модам Бесселя [11], НуГ-моды имеют бесконечную энергию, а во-вторых, НуГ-моды порождаются начальным световым полем (1), которое имеет особенность в начале координат ($\sigma \rightarrow \infty, m = -1$):

$$E_{\gamma,n,-1}(r, \varphi, z=0) = \frac{1}{2\pi} \left(\frac{\omega}{r} \right) \exp\left[i\gamma \ln\left(\frac{r}{\omega} \right) + in\varphi \right]. \quad (29)$$

Поэтому на практике, чтобы сформировать НуГ-моду, световое поле (29) следует ограничить кольцевой диафрагмой с радиусами R_1 и R_2 ($R_1 < R_2$). Однако такое ограничение апертуры начального поля при некоторых параметрах не приводит к заметным искажениям НуГ-моды. На рис. 1 показан вид радиального распределения интенсивности поля (29), ограниченного кольцевой диафрагмой, и интенсивности на расстоянии $z=100$ мм.

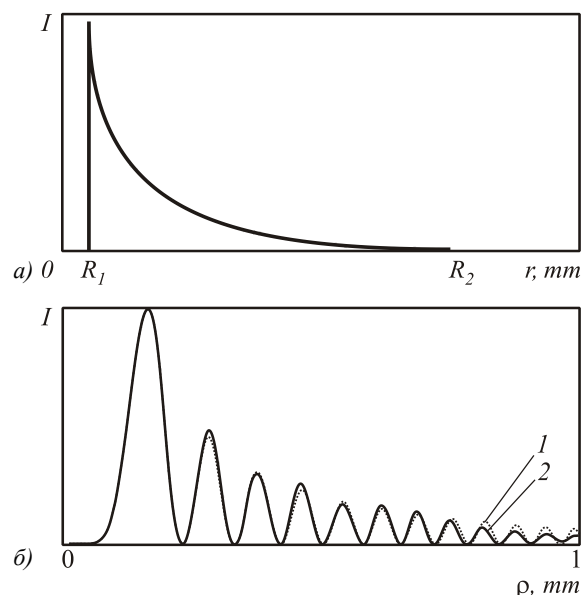


Рис. 1 Радиальное распределение интенсивности НуГ моды ($n=4, \gamma=-10, m=-1$) при $z=0$ (а) и $z=100$ мм (б): точная НуГ мода (1) и рассчитанная после ограничения апертурой (2)

При следующих параметрах расчета: $\lambda=532$ нм, $R_1=0,05$ мм, $R_2=1$ мм, $w=1$ мм, число отсчетов

$N=512$; параметры НуГ-моды: $n=4$, $\gamma=-10$, среднеквадратичное отклонение точной интенсивности, полученной на основе уравнения (2), от рассчитанной с учетом ограниченной апертуры (рис. 1б) составляет 5,5%.

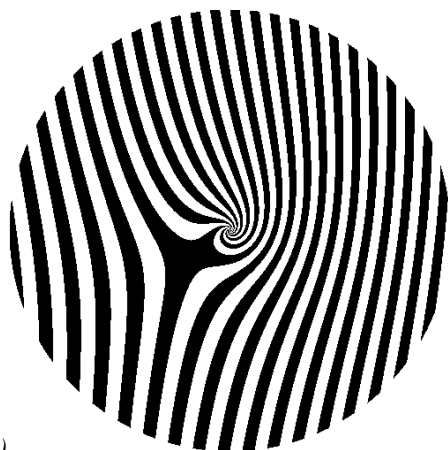
Реализация амплитудного распределения, показанного на рис. 1а, для формирования НуГ моды является неэффективным способом. Более энергетически эффективным и технологичным является формирование НуГ моды с помощью фазового бинарного ДОЭ [14].

Функция пропускания такого ДОЭ может иметь следующий вид:

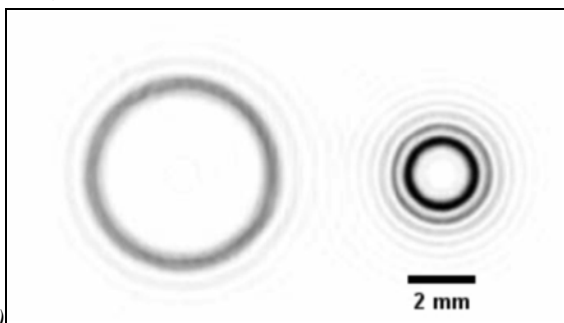
$$\tau_{\gamma,n}(r,\phi) = \text{sgn} \left\{ \cos \left[\gamma \ln \left(\frac{r}{w} \right) + n\phi + cr \cos \phi \right] \right\}, \quad (30)$$

где c – несущая пространственная частота.

На рис. 2 показана бинарная фаза ДОЭ (30) (диаметр 5 мм, $n=7$, $\gamma=10$, $c=10 \text{ мм}^{-1}$, $w=1 \text{ мм}$) (а) и рассчитанная картина дифракции на расстоянии $z=700 \text{ мм}$ от ДОЭ (б).



а)

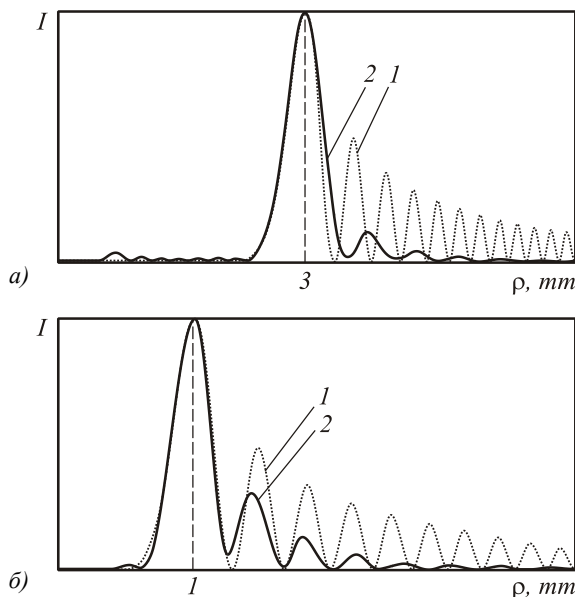


б)

Рис. 2. Бинарная фаза ДОЭ ($c=10 \text{ мм}^{-1}$) (а) и рассчитанная картина дифракции на расстоянии $z=700 \text{ мм}$ (б)

Из рис. 2б видно, что при освещении ДОЭ (рис. 1а) плоской волной на некотором расстоянии формируются в основном две кольцевые картины дифракции, близкие к НуГ модам с номерами $n=7$, $\gamma=10$ (большие кольца) и $n=-7$, $\gamma=-10$ (малые кольца). В каждый из двух пучков идет около 40% световой энергии.

На рис. 3 показаны радиальные распределения интенсивности, рассчитанные для идеальной моды НуГ (кривые 1) и сформированные с помощью бинарного ДОЭ (рис. 2а) (кривые 2) на расстоянии $z=2000 \text{ мм}$: $n=7$, $\gamma=10$ (а) и $n=-7$, $\gamma=-10$ (б).



а)

б)

Рис. 3. Радиальные распределения интенсивности точных НуГ-мод (кривые 1) и рассчитанных после бинарного ДОЭ (рис. 2а) (кривые 2) на расстоянии $z=2000 \text{ мм}$: $n=7$, $\gamma=10$ (а) и $n=-7$, $\gamma=-10$ (б)

Среднеквадратичное отклонение точных НуГ-мод от рассчитанных на расстоянии $z=2000 \text{ мм}$ от бинарного ДОЭ (рис. 2а) составило 43% (а) и 35% (б). Таким образом, замена убывающей от r амплитуды функции (29) на постоянную в (30) приводит к заметной ошибке при формировании НуГ пучка. Однако отличия касаются только боковых лепестков картин дифракции и почти не затрагивают основное кольцо.

5. Эксперимент

С помощью электронной литографии был изготовлен бинарный фазовый ДОЭ размером $5 \times 5 \text{ мм}$ с разрешением 10 мкм для длины волны 532 нм . На рис. 4. показано изображение центральной части микрорельефа этого ДОЭ, полученное с помощью интерферометра NewView 5000 Zygo со 100 - кратным увеличением.

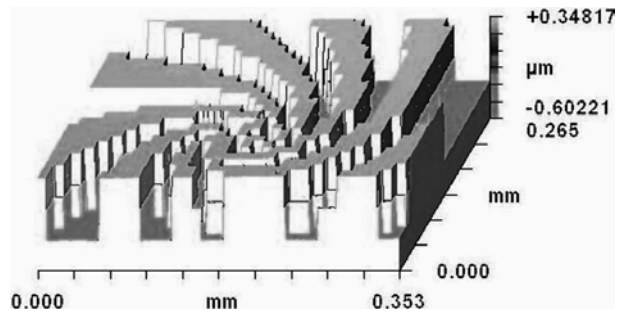


Рис. 4. Микрорельеф центральной части бинарного ДОЭ (рис. 2а) размером $353 \times 265 \text{ мкм}$ в подложке из плавленого кварца

Требуемая высота микрорельефа в подложке из плавленого кварца (SiO_2) равна 578,3 нм, а высота изготовленного рельефа колебалась от 572 до 583 нм. То есть бинарный ДОО изготовлен с высокой точностью — около 1%.

На рис. 5 показаны картины дифракции, сформированные после освещения ДОО плоским пучком света диаметром 4 мм от твердотельного лазера с длиной волны 532 нм и мощностью 500 мВт и измеренные на разных расстояниях от ДОО: 2000 мм (а), 2300 мм (б) и 3000 мм (в). Из рис. 5 видно, что картины дифракции по форме совпадают с расчетными картинками (рис. 2в) и что на достаточном удалении от ДОО оба световых пучка $n=7$, $\gamma=10$ и $n=-7$, $\gamma=-10$ слабо меняются при распространении.

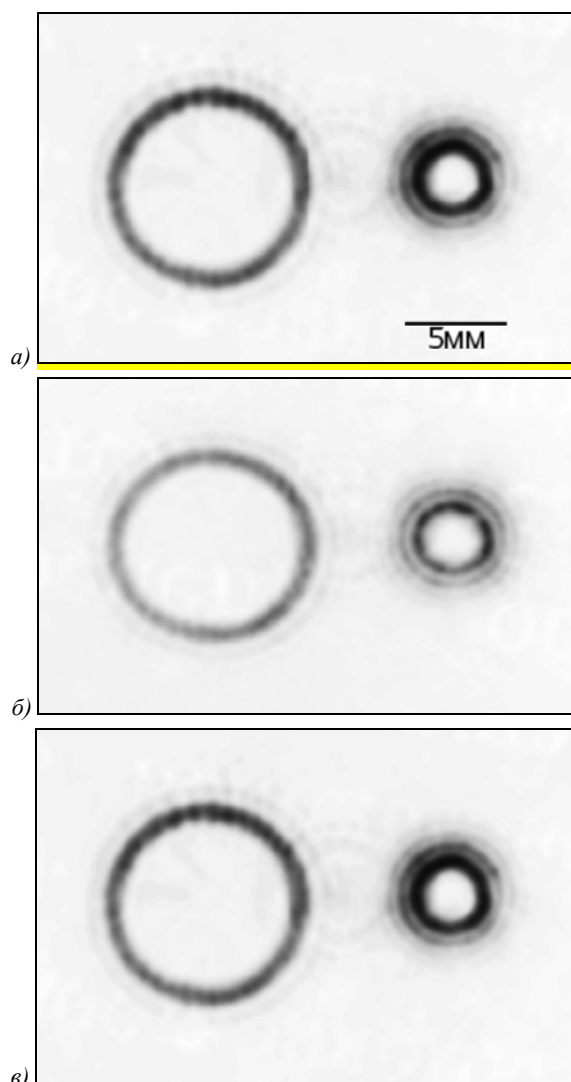


Рис. 5. Картины дифракции, сформированные ДОО (рис. 4) при освещении плоским пучком диаметром 4 мм ($\lambda = 532$ нм) и зарегистрированные CCD-камерой на расстояниях 2000 (а), 2300 (б) и 3000 мм (в)

На рис. 6 показаны экспериментальная (а) и расчетная (в) картины дифракции плоской волны на ДОО для НУГ-моды ($n=7$, $\gamma=10$) и их радиальные сечения интенсивности (б и г соответственно).

Из рис. 6 видно, что обе картины дифракции и их радиальные сечения удовлетворительно соответствуют друг другу, а среднеквадратичная ошибка составляет 27%.

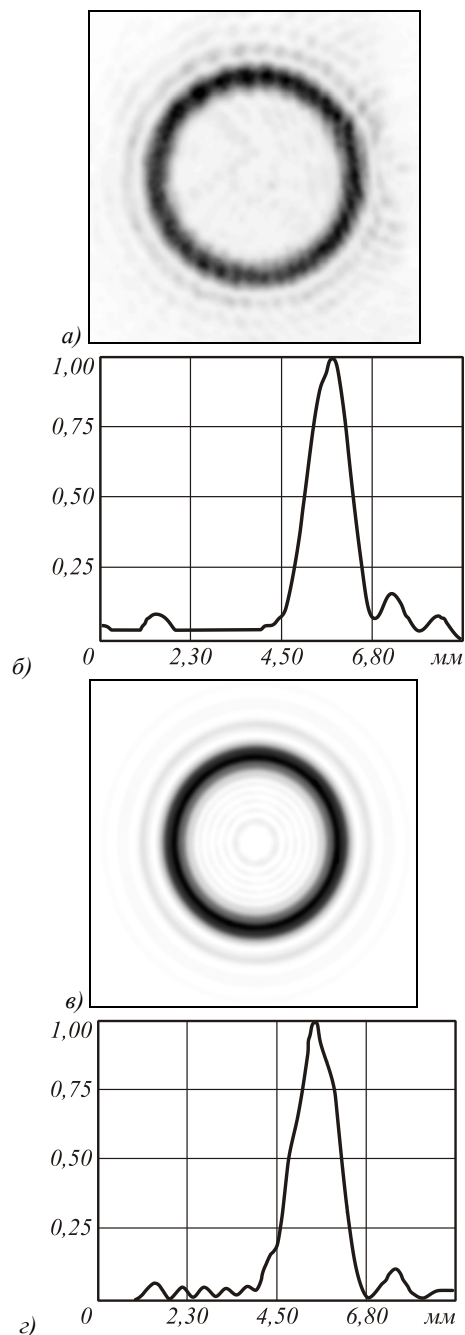


Рис. 6. Экспериментальная (а) и расчетная (в) картины дифракции плоской волны на ДОО для НУГ-моды ($n=7$, $\gamma=10$) и их радиальные сечения интенсивности: экспериментальное (б) и расчетное (г)

На рис. 7 показаны три фрагмента (разделенных временным интервалом в 15 сек) вращения полистиролового шарика диаметром 5 мкм, вращающегося по основному кольцу НУГ пучка ($n=7$, $\gamma=10$), сформированного бинарным ДОО (рис. 4). Световое кольцо на рис. 7 после фокусировки микрообъективом $\times 40$ имело диаметр 39 мкм.

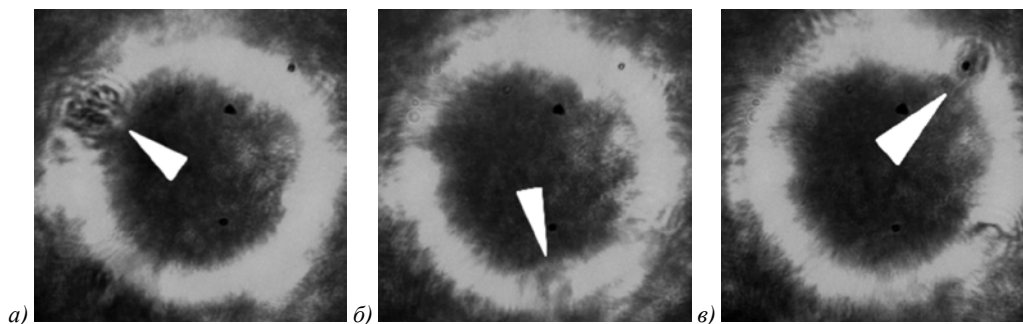


Рис. 7. Вращение полистироловой частицы диаметром 5 мкм (местоположение частицы показано белым треугольником) по основному кольцу картины дифракции для НУГ пучка ($n=7$, $\gamma=10$), сформированной при дифракции плоской волны на ДОЭ (рис. 4)

6. Заключение

Получены явные аналитические выражения, описывающие параксиальные световые пучки, являющиеся частными случаями НУГ лазерных пучков: mQBG, GOV, HGOV, meLG и γ НУГ пучки. По технологии электронной микролитографии с точностью реализации высоты микрорельефа около 1% синтезирован бинарный дифракционный оптический элемент, приближенно формирующий НУГ пучки. Бинарный ДОЭ рассчитывался как киноформ, то есть модуль кодируемой комплексной функции заменялся константой, а аргумент (фаза) комплексной функции сохранялся. В результате такой замены сформированные картины дифракции по форме совпадают с картинами дифракции для НУГ пучков, хотя количественно заметно отличаются. Однако отличия касаются только боковых лепестков картин дифракции (периферийных колец) и почти не затрагивают основное кольцо. Теория и эксперимент находятся в удовлетворительном соответствии. Также экспериментально показана возможность вращения полистироловых шариков диаметром 5 мкм в световом кольце сформированного лазерного пучка.

Благодарности

Работа выполнена при частичной финансовой поддержке российско-американской программы «Фундаментальные исследования и высшее образование» (грант CRDF RUX0-014-Sa-06, грантов РФФИ №№ 07-07-97600, 08-07-99007 и Президента РФ № НШ-3086.2008.9).

Авторы выражают благодарность группе Я. Турунена (Физический факультет Университета Йюенсуу, Финляндия) за изготовление и предоставление для проведения экспериментов оптических элементов.

Литература

1. **Kotlyar, V.V.** Hypergeometric modes / [V.V. Kotlyar and other] // Opt. Lett. 2007.– Vol. 32. – p.742-744.
2. **Karimi, E.** Hypergeometric-Gaussian modes / [E. Karimi and other] // Opt. Lett. 2007.– Vol. 32.–p.3053-3055.
3. **Kotlyar, V.V.** Family of hypergeometric laser beams / V.V. Kotlyar, A.A. Kovalev // J. Opt. Soc. Am. A. 2008.– Vol.25.– p.262-270.
4. **Bandres, M.A.** Circular beams / M.A. Bandres, J.C. Gutiérrez-Vega // Opt. Lett. 2008.– Vol. 33.– p.177-179.
5. **Siegman, A.E.** Lasers / A.E. Siegman – University Science, 1986.
6. **Takenaka, T.** Propagation of light beams beyond the paraxial approximation / T. Takenaka, M. Yokota, O. Fukumitsu // J. Opt. Soc. Am. A. 1985.– Vol. 2.– p.826-829.
7. **Caron, C.F.R.** Bessel-modulated Gaussian beams with quadratic radial dependence / C.F.R. Caron, R.M. Potvliege // Opt. Commun. 1999.– Vol. 164.– p.83-93.
8. **Rozas, D.** Propagation dynamics of optical vortices / D. Rozas, C.T. Law, G.A. Swartzlander, Jr. // J. Opt. Soc. Am. B. 1997.– Vol. 14.– p.3054-3065.
9. **Kotlyar, V.V.** Generation of phase singularity through diffracting a plane or Gaussian beam by a spiral phase plate / [V.V. Kotlyar and other] // J. Opt. Soc. Am. A. 2005.– Vol. 22.– p.849-861.
10. Handbook of Mathematical Functions / ed. by. M. Abramovitz, I.A. Stegun.– National Bureau of Standards, Applied Math. Series, 1965.
11. **Durnin, J.** Diffraction-free beams / J. Durnin, J.J. Miceli, J.H. Eberly // Phys. Rev. Lett. 1987.– Vol. 58.– p.1499-1501.
12. **Gori, F.** Bessel-Gauss beams / F. Gori, G. Guattari, C. Pado-vani // Opt. Commun. 1987.– Vol. 64(6)– p.491-495.
13. **Прудников, А.П.** Интегралы и ряды. Специальные функции / А.П. Прудников, Ю.А. Брычков, О.И. Маричев – М.:Наука, 1983.
14. Methods for Computer Design of Diffractive Optical Elements / ed. by V.A. Soifer.– Willey & Sons, 2002.

PARTICULAR CASES OF HYPERGEOMETRIC LASER BEAMS IN OPTICAL MICROMANIPULATION

V.V. Kotlyar^{1,2}, A.A. Kovalev^{1,2}, R.V. Skidanov^{1,2}, Svetlana Nikolaevna Khonina^{1,2}

¹Image Processing Systems Institute of the Russian Academy of Sciences, Samara, Russia,

²S.P. Korolyov Samara State Aerospace University, Samara, Russia

Abstract

We derive explicit analytical expressions to describe paraxial light beams that represent a particular case of the hypergeometric (HyG) laser beams [J.Opt.Soc.Am.A, v.25, p.262-270 (2008)]. Among these are modified quadratic Bessel-Gaussian (mQBG) beams, hole Gaussian optical vortices (HGOV), modified elegant Laguerre-Gaussian beams (meLG), and gamma-hypergeometric (γ HyG) beams. Using e-beam microlithography, a binary diffractive optical element capable of producing near-HyG beams is synthesized. Theory and experiment are in sufficient agreement. A possibility of rotating dielectric microparticles in the bright diffraction ring of the HyG beam is experimentally demonstrated.

Keywords: hypergeometric beam, hypergeometric mode, diffractive optical element, optical rotation of dielectric microparticles, confluent function (Kummer function), logarithmic axicon

Citation: Kotlyar VV, Kovalev AA, Skidanov RV, Khonina SN. Particular cases of hypergeometric laser beams in optical micromanipulation. *Computer Optics* 2008; 32(2): 180-6.

Acknowledgements: This work was supported in part by the Russian-American program "Fundamental researches and higher image-tion" (grant CRDF RUX0-014-Sa-06, RFBR grants №№ 07-07-97600, 08-07-99007, and the President of the Russian Federation № NSH -3086.2008.9. The authors thank the group J. Turunen (Department of Physics of the University of Joensuu, Finland) for the manufacture and provision for experimentation with optical elements.

References

- [1] Kotlyar VV. Hypergeometric modes. *Opt. Lett.* 2007; 32: 742-744.
- [2] Karimi E. Hypergeometric-Gaussian modes. *Opt. Lett.* 2007; 32: 3053-3055.
- [3] Kotlyar VV, Kovalev AA. Family of hypergeometric laser beams. *J. Opt. Soc. Am. A.* 2008; 25: 262-270.
- [4] Bandres M.A, Gutiérrez-Vega JC. Circular beams. *Opt. Lett.* 2008; 33: 177-179.
- [5] Siegman AE. *Lasers.* University Science 1986.
- [6] Takenaka T, Yokota M, Fukumitsu O. Propagation of light beams beyond the paraxial approximation. *J. Opt. Soc. Am. A.* 1985; 2: 826-829.
- [7] Caron CFR, Potvliege RM. Bessel-modulated Gaussian beams with quadratic radial dependence. *Opt. Commun.* 1999; 164: 83-93.
- [8] Rozas D, Law CT, Swartzlander Jr. GA. Propagation dynamics of optical vortices. *J. Opt. Soc. Am. B* 1997; 14: 3054-3065.
- [9] Kotlyar VV. Generation of phase singularity through diffracting a plane or Gaussian beam by a spiral phase plate. *J. Opt. Soc. Am. A* 2005; 22: 849-861.
- [10] *Handbook of Mathematical Functions.* Ed. by Abramovitz M, Stegun IA. National Bureau of Standards, Applied Math. Series 1965.
- [11] Durnin J, Miceli JJ, Eberly JH. Diffraction-free beams. *Phys. Rev. Lett.* 1987; 58: 1499-1501.
- [12] Gori F, Guattari G, Padovani C. Bessel-Gauss beams. *Opt. Commun.* 1987; 64(6): 491-495.
- [13] Prudnikov AP, Brychkov YuA, Marichev OI. *Integrals and Series. Special Functions* [In Russian]. Moscow: "Nauka" (Science) Publisher, 1983.
- [14] *Methods for Computer Design of Diffractive Optical Elements.* Ed. by Soifer VA. Wiley & Sons, 2002.